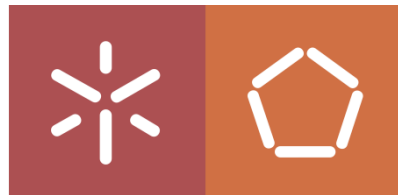


UNIVERSIDADE DO MINHO

Licenciatura em Engenharia Informática



Inteligência Artificial

2025/2026

Relatório Trabalho Prático

Resolução de Problemas - Algoritmos de procura

GRUPO 015

106853, Ana Beatriz Freitas

107365, Beatriz Martins Miranda

106877, José Miguel Cação

106793, Lucas André Fernandes

Janeiro 2026

Avaliação pelos Pares

- A106853 Ana Beatriz Freitas DELTA = 0
- A107365 Beatriz Martins Miranda DELTA = 0
- A106877 José Miguel Cação DELTA = 0
- A106793 Lucas André Fernandes DELTA = 0

Índice

1	Introdução	2
2	Descrição do Problema	2
3	Formulação como Problema de Procura	3
3.1	Representação de Estado	3
3.2	Estado Inicial	3
3.3	Teste Objetivo	3
3.4	Operadores	3
3.5	Função de Custo	4
3.6	Solução do Problema	4
3.7	Propriedades do Espaço de Estados	5
3.8	Abstração do Problema Real	5
4	Arquitetura e Estrutura do Sistema	6
4.1	Diagrama de Componentes	6
4.2	Modelo de Dados	6
4.2.1	Grafo	6
4.2.2	Veículos	7
4.2.3	Pedidos	8
5	Padrões de Design Utilizados	8
5.1	Estratégias de Seleção (Strategy)	9
5.2	Separação de Responsabilidades	9
5.3	Caching (Otimização)	9
6	Algoritmos de Procura	10
6.1	Algoritmos Pesquisa não Informada	10
6.1.1	<i>UCS - Uniform Cost Search</i>	10
6.1.2	<i>BFS - Breadth First Search</i>	10
6.1.3	<i>DFS - Depth First Search</i>	10
6.2	Algoritmos Pesquisa Informada	11
6.2.1	<i>A*</i>	11
6.2.2	<i>Greedy</i>	11
6.3	Funções de Custo	12
6.3.1	Custo por Distância (base geométrica)	12
6.3.2	Custo por Tempo (com trânsito dinâmico)	12
6.3.3	Custo Multiobjetivo (atribuição de veículos)	12
6.4	Heurísticas	13

6.4.1	Heurística Euclidiana (distância)	13
6.4.2	Heurística Avançada (tempo + trânsito + autonomia)	13
6.4.3	Prova explícita de admissibilidade da heurística avançada	14
7	Estratégias de Gestão de Frota	15
7.1	Seleção de Veículos	15
7.1.1	Fluxo de decisão	15
7.1.2	SelecaoMenorDistancia	15
7.1.3	SelecaoCustoComposto	15
7.1.4	SelecaoDeadMileage	15
7.1.5	SelecaoEquilibrada	16
7.1.6	SelecaoPriorizarEletricos	16
7.2	Gestão da Autonomia e Políticas de Recarga	16
7.2.1	Verificação de autonomia na atribuição	16
7.2.2	Atribuição com paragem para recarga/abastecimento	16
7.2.3	Encaminhamento preventivo para recarga	17
7.2.4	Critério de escolha de estação	17
8	Simulador e Dinamismo	18
8.1	Arquitetura do Simulador	18
8.1.1	Ciclo Principal	18
8.1.2	Gestão de Tempo e Eventos	18
8.2	Geração de Pedidos	18
8.2.1	Geração Aleatória	19
8.2.2	Agendamento Pré-definido	19
8.3	Trânsito Dinâmico	19
8.3.1	Variação Temporal	19
8.3.2	Fatores de Congestionamento Zonais	20
8.3.3	Impacto nas Rotas	20
8.4	Simulação de Falhas em Estações	21
8.4.1	Modelo Probabilístico de Falhas	21
9	Avaliação de Desempenho e Métricas	22
9.1	Objetivos de Avaliação	22
9.2	Recolha e Agregação das Métricas	22
9.3	Dead Mileage por Veículo e Rankings	23
10	Interface e Visualização	24
10.1	Interface Gráfica	24
10.1.1	Componentes da <i>sidebar</i>	24

10.1.2 Janelas de configuração (pré-simulação)	24
10.2 Visualização do Grafo e Rotas	25
10.2.1 Desenho do grafo e adaptação ao ecrã	25
10.2.2 Representação de pedidos	25
10.2.3 Representação e animação de veículos	25
10.2.4 Rasto de rotas (trail) por pedido	25
10.2.5 <i>Tooltips</i> e legenda	25
10.3 Métricas em Tempo Real	25
10.4 Ciclo de Atualização e Responsividade	26
10.5 Controlo de Execução e Gestão de Estados	26
10.6 Apresentação de Resultados Finais	26
11 Resultados Experimentais e Análise	27
11.1 Arquitetura do Ciclo de Testes	27
11.2 Ferramentas de Automação e Diagnóstico	27
11.3 Resultados dos testes e Análise de desempenho	27
11.4 Comparação em ambiente com falhas	31
11.5 Comparação de algoritmo de seleção de táxi	31
11.6 Comparação com Reposicionamento Ativo	32
11.7 Comparação com <i>Ride Sharing</i>	33
12 Conclusões	34
12.1 Análise Crítica e Resultados Alcançados	34
12.2 Limitações e Trabalho Futuro	34

1 Introdução

O presente trabalho, desenvolvido no âmbito da unidade curricular de Inteligência Artificial do 3º ano da Licenciatura em Engenharia Informática da Universidade do Minho, aborda o problema de gestão inteligente de frotas de veículos através de algoritmos de procura. O sistema foi concebido para a *TaxiGreen*, uma empresa de táxis urbanos que opera com uma frota heterogénea composta por veículos elétricos e a combustão, enfrentando o desafio de equilibrar eficiência operacional, custos e sustentabilidade ambiental.

O problema central consiste em otimizar a alocação de veículos a pedidos de transporte que chegam dinamicamente, minimizando tempos de resposta e quilómetros percorridos sem passageiros, enquanto se gera autonomia limitada dos veículos elétricos e se adapta a condições dinâmicas como variação de trânsito e falhas em estações de recarga. Pretende-se desenvolver e avaliar algoritmos de procura que otimizem a alocação de veículos minimizando custos operacionais, quilómetros sem passageiros e emissões de CO_2 , garantindo tempos de resposta aceitáveis e adaptação a condições dinâmicas.

O relatório aborda a formulação formal do problema como problema de procura, a arquitetura e implementação do sistema desenvolvido, os algoritmos de procura utilizados, os mecanismos de dinamismo e robustez implementados, culminando com uma síntese crítica dos resultados alcançados e identificação de direções futuras.

2 Descrição do Problema

A *TaxiGreen* é uma empresa de táxis urbanos que opera com uma frota mista, composta por veículos elétricos e a combustão. O desafio central consiste em otimizar a gestão desta frota, garantindo que todos os pedidos de transporte sejam atendidos dentro de um período de tempo aceitável, minimizando simultaneamente custos operacionais, emissões de CO_2 e quilómetros percorridos sem passageiros.

As principais restrições a considerar são:

- Veículos elétricos têm autonomia limitada (80 km) e requerem recarga em estações específicas (tempo: 30 min)
- Veículos a combustão têm maior autonomia (120 km) mas custos operacionais superiores e maior impacto ambiental
- Pedidos chegam dinamicamente com diferentes prioridades e preferências ambientais
- Trânsito varia ao longo do dia (*rush hour*, hora de almoço)
- Estações de recarga podem falhar temporariamente
- Cada veículo tem capacidade máxima de passageiros

3 Formulação como Problema de Procura

O problema central abordado neste trabalho é o planeamento de rotas para veículos da frota *TaxiGreen* num grafo urbano, respeitando restrições de autonomia e otimizando o custo de deslocação. Seguindo a metodologia clássica de formulação de problemas de procura, define-se formalmente o espaço de estados, o estado inicial, o teste objetivo, os operadores disponíveis e a função de custo.

3.1 Representação de Estado

Um estado s no espaço de procura é representado pelo par:

$$s = (\text{nó_atual}, \text{autonomia_atual}) \quad (1)$$

onde:

- $\text{nó_atual} \in N$: Localização corrente do veículo no grafo $G = (N, A)$
- $\text{autonomia_atual} \in \mathbb{R}^+$: Autonomia restante do veículo (km)

3.2 Estado Inicial

O estado inicial s_0 corresponde à configuração do veículo no momento em que recebe a atribuição do pedido:

$$s_0 = (\text{posição_veículo}, \text{autonomia_veículo}) \quad (2)$$

Exemplo concreto: Veículo elétrico E1 na localização "Centro" com 60 km de autonomia disponível:

$$s_0 = (\text{Centro}, 60) \quad (3)$$

3.3 Teste Objetivo

O teste objetivo $\text{Goal}(s)$ verifica se o veículo alcançou o destino pretendido:

$$\text{Goal}(s) \iff s.\text{nó_atual} = \text{nó_destino} \quad (4)$$

Não é necessário verificar autonomia no estado objetivo, apenas garantir que o caminho até ao destino foi viável (autonomia suficiente em cada transição).

3.4 Operadores

O problema dispõe de um único operador que modela a navegação no grafo:

MOVER_PARA(n') : Move o veículo do nó atual para um nó adjacente n' .

Operador	Pré-condições	Efeitos
{MOVER_PARA(n')}	1. Existe aresta $(s.\text{nó}, n') \in A$ 2. Aresta não está bloqueada: $\text{aresta.blocked} = \text{False}$ 3. Autonomia suficiente: $s.\text{autonomia} \geq \text{aresta.distância}$	Produz novo estado s' : $s' = (n', s.\text{autonomia} - d(s.\text{nó_atual}, n'))$ onde $d(u, v)$ representa a distância (km) da aresta entre os nós u e v .

Tabela 1: Descrição do operador de movimento e respetivas pré-condições e efeitos.

3.5 Função de Custo

O custo de uma ação corresponde ao tempo de viagem na aresta, ajustado pelo fator de congestionamento dinâmico:

$$c(\text{MOVER_PARA}(n')) = t_{\text{base}}(s.\text{nó_atual}, n') \times c_{\text{trânsito}}(s.\text{nó_atual}, n', t) \quad (5)$$

onde:

- $t_{\text{base}}(u, v)$: Tempo base de viagem (minutos) sem congestionamento
- $c_{\text{trânsito}}(u, v, t)$: Fator de congestionamento no instante t

Se $\text{aresta.blocked} = \text{True}$, então $c = \infty$ (ação inviável).

Custo do caminho: O custo total de um caminho $\pi = [n_0, n_1, \dots, n_k]$ é a soma dos custos das arestas percorridas:

$$\text{Custo}(\pi) = \sum_{i=0}^{k-1} c(\text{MOVER_PARA}(n_{i+1})) \quad (6)$$

Exemplo numérico:

Caminho Centro → Praça → Shopping com:

- Aresta Centro-Praça: $t_{\text{base}} = 5$ min, $c_{\text{trânsito}} = 1.5$ (hora de ponta)
- Aresta Praça-Shopping: $t_{\text{base}} = 8$ min, $c_{\text{trânsito}} = 1.0$ (normal)

Custo total:

$$\text{Custo}(\pi) = (5 \times 1.5) + (8 \times 1.0) = 7.5 + 8.0 = 15.5 \text{ minutos} \quad (7)$$

3.6 Solução do Problema

Uma solução é qualquer caminho π que liga o estado inicial s_0 a um estado objetivo s_{goal} satisfazendo $\text{Goal}(s_{\text{goal}}) = \text{True}$.

A solução ótima π^* é aquela que minimiza o custo total entre todas as soluções possíveis:

$$\pi^* = \arg \min_{\pi \in \Pi} \text{Custo}(\pi) \quad (8)$$

onde Π é o conjunto de todos os caminhos válidos de s_0 até ao objetivo.

3.7 Propriedades do Espaço de Estados

Tamanho do espaço: Para um grafo com $|N| = 45$ nós e autonomia em incrementos de 1 km:

$$|S| = |N| \times A_{\max}$$

- Veículos elétricos: $|S| = 45 \times 80 = 3600$ estados
- Veículos combustão: $|S| = 45 \times 120 = 5400$ estados

Na prática, apenas uma fração destes estados é alcançável a partir de s_0 devido à topologia do grafo e restrições de autonomia.

Fator de ramificação médio: O fator de ramificação b depende do grau médio dos nós no grafo:

$$b = \frac{2|A|}{|N|} = \frac{2 \times 54}{45} \approx 2.4$$

Cada nó tem, em média, 2-3 vizinhos acessíveis (excluindo arestas bloqueadas ou transições que esgotam a autonomia).

3.8 Abstração do Problema Real

Seguindo os princípios de abstração de problemas de procura:

Estado (abstrato) = conjunto de estados reais: O par (nó, autonomia) representa múltiplas configurações do mundo real (diferentes instantes temporais, diferentes pedidos atribuídos, diferentes estados de outras variáveis do sistema).

Ação (abstrata) = conjunto de ações reais: A ação "MOVER_PARA(n)" abstrai detalhes como aceleração, travagem, escolha de faixas, manobras específicas, etc.

Garantia de realização: Se existe caminho abstrato de s_0 a s_{goal} , então existe pelo menos um caminho real correspondente no mundo concreto. Esta propriedade é assegurada pela construção conservadora do modelo abstrato.

Facilitação computacional: A abstração reduz drasticamente a complexidade, tornando o problema tratável por algoritmos de procura clássicos (A^* , UCS, etc.) em tempo útil para aplicação prática.

4 Arquitetura e Estrutura do Sistema

O *TaxiGreen* foi desenvolvido em *Python* seguindo uma arquitetura modular, com separação clara de responsabilidades entre modelo de dados, mecanismos de simulação/gestão e interface. Esta organização facilita a manutenção, a extensibilidade e a validação através de testes automatizados.

4.1 Diagrama de Componentes

A estrutura lógica do sistema pode ser descrita pelos seguintes componentes principais:

- **Fábrica de dados:** gera instâncias de demonstração do grafo, frota e pedidos (*GrafoDemo*, *VeiculosDemo*, *PedidosDemo*).
- **Modelo:** contém as estruturas fundamentais do domínio: grafo, pedidos e veículos.
- **Gestão e Simulação:** implementa a lógica de atribuição, planeamento e evolução temporal (gestor de frota, simulador, algoritmos de procura e estratégias).
- **Interface:** visualização do mapa e painéis de estado, com controlo da execução e apresentação de métricas.
- **Entrada principal e orquestração:** carrega configurações, instancia os componentes e inicia a interface gráfica.

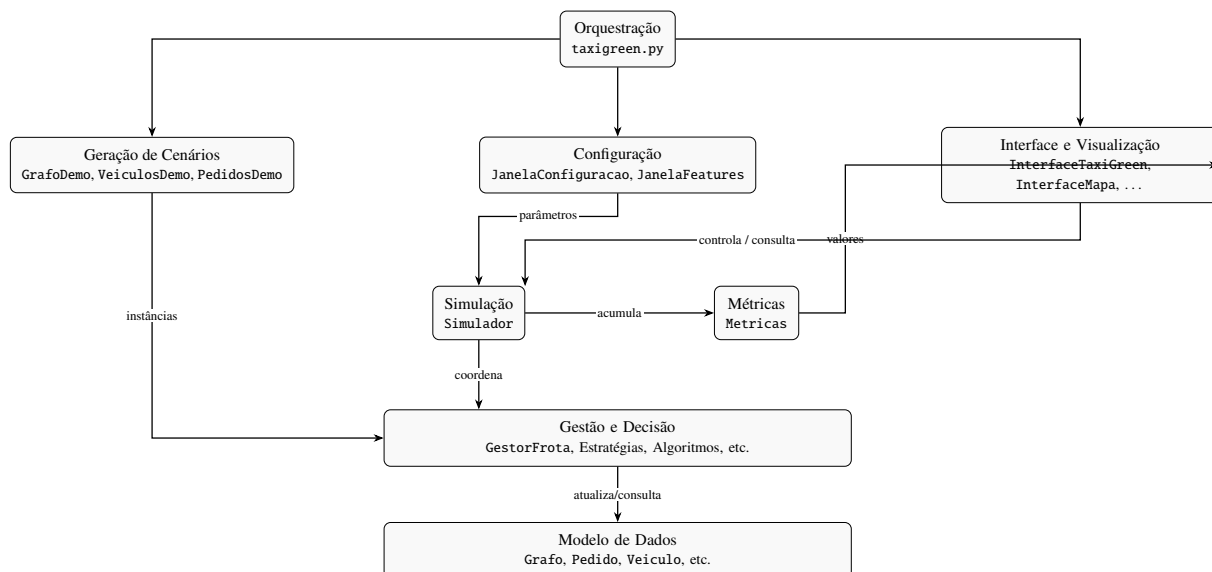


Figura 1: Diagrama de camadas do *TaxiGreen* com arestas corrigidas.

Em execução, o Simulador atua como coordenador do ciclo temporal, chamando o GestorFrota (decisões e estado da frota) e atualizando, quando aplicável, módulos dinâmicos (trânsito, falhas e *ride-sharing*). A interface consulta continuamente o estado do simulador e do gestor, apresentando-o de forma interativa.

4.2 Modelo de Dados

4.2.1 Grafo

O ambiente urbano é representado por um grafo não dirigido $G = (N, A)$. Os nós (No) representam localizações com coordenadas (x, y) e um tipo (TipoNo) que distingue:

- zonas urbanas de recolha/entrega (RECOLHA_PASSAGEIROS);
- estações de recarga (ESTACAO_RECARGA);
- postos de abastecimento (POSTO_ABASTECIMENTO).

As arestas (**Aresta**) armazenam distância (km), tempo base de viagem (min), e dois mecanismos para representar perturbações:

- **congestionamento** (*congestion*): multiplicador do tempo de viagem;
- **bloqueio** (*blocked*): representa vias indisponíveis.

O tempo de viagem efetivo é calculado por:

$$t_{\text{real}} = \begin{cases} +\infty, & \text{se } \textit{blocked} = \text{True} \\ t_{\text{base}} \times c, & \text{caso contrário} \end{cases}$$

onde c corresponde ao fator de congestionamento armazenado na aresta.

O grafo disponibiliza operações para consulta estrutural e suporte aos algoritmos de planeamento, nomeadamente obtenção de vizinhos ({vizinhos}), distância entre nós ({distancia}) e acesso direto a uma aresta ({get_aresta}).

O mapa urbano é representado por um grafo com 45 nós:

- **26 zonas urbanas:** Pontos de recolha/entrega (Centro, Praça, Shopping, etc.)
- **12 estações de recarga:** Exclusivas para veículos elétricos
- **7 postos de abastecimento:** Exclusivos para veículos a combustão

4.2.2 Veículos

Os veículos são modelados por uma hierarquia abstrata (**Veiculo**) e duas subclasses concretas: **VeiculoEletrico** e **VeiculoCombustao**. Cada veículo mantém:

- estado operacional e posição atual;
- autonomia atual e máxima;
- capacidade de passageiros;
- métricas acumuladas por veículo (km totais e km sem passageiros);
- informação de rota (**rota** e **indice_rota**) e **id_pedido_atual**.

A dinâmica do veículo é governada por uma máquina de estados (**EstadoVeiculo**) com estados como **DISPONIVEL**, **EM_DESLOCACAO**, **A_SERVICO**, **A_CARREGAR** e **A_ABASTECER**. O método **mover_um_passo** implementa a transição ao longo de uma rota, respeitando:

- tempos de ocupação (**tempo_ocupado_ate**) para modelar duração de viagens e de recarga/abastecimento;
- consumo de autonomia e atualização de métricas de distância;
- diferenciação entre deslocação com passageiros e sem passageiros (impacto em *dead mileage*).

Os modelos de custo e emissões dependem do tipo de veículo:

Veículos Elétricos:

- Autonomia: 80 km
- Tempo de recarga: 30 min (recarga completa)
- Custo operacional: €0.09/km
- Emissões: 0 kg CO/km (operação direta)

Inclui custo por km, maior desgaste e penalização ambiental proporcional às emissões.

Veículos a Combustão:

- Autonomia: 120 km
- Tempo de abastecimento: 10 min (abastecimento completo)
- Custo operacional: €0.20/km (combustível) + €0.03/km (desgaste)
- Emissões: 0.12 kg CO/km

Inclui custo por km, desgaste reduzido e um bónus ambiental (incentivo) que reduz o custo total, nunca permitindo valores negativos.

4.2.3 Pedidos

Os pedidos de transporte são definidos através da classe `Pedido`. Cada pedido inclui:

- origem e destino (nós do grafo);
- número de passageiros;
- instante do pedido (minutos de simulação);
- prioridade (0–3);
- preferência ambiental (`eletrico`, `combustao` ou `qualquer`);
- estado (`EstadoPedido`) e eventual veículo atribuído.

O ciclo de vida segue, tipicamente:

PENDENTE → ATRIBUIDO → EM_EXECUCAO → CONCLUIDO

podendo ainda ocorrer `REJEITADO` quando não existe um veículo viável, ou `CANCELADO` em cenários específicos. O modelo inclui validações (ex.: passageiros positivos e origem diferente do destino) e suporte para expiração por tempo máximo de espera (`tempo_max_espera`).

5 Padrões de Design Utilizados

O *TaxiGreen* foi concebido para ser modular e extensível. Para isso, recorre a um padrão de variação explícita na seleção de veículos (Strategy), à separação clara de responsabilidades entre coordenação temporal e decisões de domínio, e ao caching para reduzir recomputações no planeamento.

5.1 Estratégias de Seleção (Strategy)

A escolha do veículo é parametrizável através do padrão *Strategy*. O `{GestorFrota}` recebe uma instância de `{EstrategiaSelecao}` e delega a decisão:

$$v^* = \{estrategia_selecao.selecionar(pedido, candidatos, self, tempo_atual)\}.$$

Desta forma, é possível trocar/adicionar estratégias sem alterar a lógica de atribuição. A descrição funcional das estratégias é apresentada na Secção 7.

5.2 Separação de Responsabilidades

A coordenação do tempo e eventos pertence ao `{Simulador}` (introdução de pedidos, avanço do tempo, movimento e conclusão), enquanto o `{GestorFrota}` concentra decisões e operações de domínio (seleção/atribuição, cálculo e viabilidade de rotas, encaminhamento para recarga). Esta divisão reduz acoplamento e facilita testes.

5.3 Caching (Otimização)

Para reduzir custo computacional, o `{GestorFrota}` usa:

- `{CacheRotas}`: reutiliza rotas calculadas (com validade temporal).
- `{CacheDistancias}`: memoriza distâncias euclidianas entre pares de nós, explorando simetria $d(a, b) = d(b, a)$.

6 Algoritmos de Procura

O sistema *TaxiGreen* implementa cinco algoritmos clássicos de procura em grafos para o cálculo de rotas entre pontos da cidade. Todos os algoritmos partilham a estrutura de grafo representada pela classe Grafo.

6.1 Algoritmos Pesquisa não Informada

6.1.1 UCS - *Uniform Cost Search*

O UCS é um algoritmo de procura não informada que expande sempre o nó com menor custo acumulado. Garante a solução ótima sem necessitar de heurística.

Função de avaliação:

$$f(n) = g(n) \quad (9)$$

Características da implementação:

- Utiliza fila de prioridade ordenada por $g(n)$
- Considera trânsito dinâmico baseado em {aresta.tempo_real()}
- Ignora arestas bloqueadas
- Garantia de otimalidade incondicional
- Útil como referência de comparação (solução ótima sem heurística)

6.1.2 BFS - *Breadth First Search*

A Procura em Largura explora o grafo nível a nível, utilizando uma fila FIFO. Encontra o caminho com menor número de nós, mas não considera custos das arestas.

Características da implementação:

- Utiliza *collections.deque*
- Explora nós por ordem de distância (em número de arestas) à origem
- Não considera custos - encontra caminho com menos nós, não caminho mais rápido
- Otimalidade apenas em termos de número de arestas

Variante com *checkpoint*: A função {bfs_com_checkpoint} força a passagem por um ponto intermédio, útil para cenários onde o veículo precisa de passar por uma estação de recarga ou abastecimento.

6.1.3 DFS - *Depth First Search*

A Procura em Profundidade explora um ramo do grafo até à sua máxima profundidade antes de retroceder. Utiliza uma pilha LIFO e não garante otimalidade.

Características da implementação:

- Explora ramos em profundidade primeiro
- Mantém conjunto de nós visitados para evitar ciclos

- Não garante otimalidade - retorna qualquer caminho encontrado
- Útil para exploração do grafo, não para otimização de rotas
- Baixo consumo de memória comparado com BFS

6.2 Algoritmos Pesquisa Informada

6.2.1 A*

O algoritmo A* (*A-Star*) é um algoritmo de procura informada que combina o custo acumulado desde a origem com uma estimativa heurística até ao destino. A implementação sutiliza uma fila de prioridade para expandir os nós de forma eficiente.

Função de avaliação:

$$f(n) = g(n) + h(n) \quad (10)$$

onde:

- $g(n)$ - custo real acumulado desde a origem até ao nó n
- $h(n)$ - estimativa heurística do custo de n até ao destino

Características da implementação:

- Utiliza *heapq* do *Python* para gestão da fila de prioridade
- Considera trânsito dinâmico através de `{aresta.tempo_real()}`
- Ignora arestas bloqueadas (custo = ∞)
- Suporta heurística avançada quando há informação sobre o veículo
- Retorna tuplo (custo_total, caminho)
- Garantia de otimalidade quando a heurística é admissível

6.2.2 Greedy

O algoritmo Guloso é uma procura informada que expande sempre o nó com menor valor de heurística, ignorando completamente o custo acumulado.

Função de avaliação:

$$f(n) = h(n) \quad (11)$$

Características da implementação:

- Utiliza apenas a heurística $h(n)$ para decisões
- Ignora custo acumulado $g(n)$ durante a procura
- Não garante otimalidade - prioriza velocidade sobre qualidade
- Calcula custo total apenas após encontrar caminho
- Muito rápido, ideal para sistemas em tempo real

6.3 Funções de Custo

O sistema utiliza funções de custo para suportar duas decisões centrais: o planeamento de rotas, minimizando tempo de viagem no grafo, e a atribuição multi-objetivo de veículos a pedidos, quando se recorre a estratégias que equilibram tempo, custo e sustentabilidade.

6.3.1 Custo por Distância (base geométrica)

A distância euclidiana entre dois nós n_a e n_b (com coordenadas (x_a, y_a) e (x_b, y_b)) é definida por:

$$d(n_a, n_b) = \sqrt{(x_a - x_b)^2 + (y_a - y_b)^2}. \quad (12)$$

Esta medida é usada como base para estimativas heurísticas rápidas e para derivar custos operacionais proporcionais à distância. Por ser consultada frequentemente, o sistema otimiza o seu cálculo através de *cache* simétrico, explorando $d(a, b) = d(b, a)$.

6.3.2 Custo por Tempo (com trânsito dinâmico)

O custo relevante para os algoritmos de procura é o tempo real de viagem em cada aresta. O tempo real é calculado como:

$$t_{\text{real}}(\text{aresta}) = \begin{cases} +\infty, & \text{se a aresta estiver bloqueada,} \\ t_{\text{base}} \cdot c(t), & \text{caso contrário,} \end{cases} \quad (13)$$

onde $c(t)$ é um fator de congestionamento dinâmico. O *{GestorTransito}* atualiza este fator em função da hora do dia e da zona, permitindo que o planeamento se adapte a condições variáveis.

Estimativa heurística de tempo: Para converter distância em tempo (minutos) é usada a aproximação:

$$h_{\text{tempo}}(n_a, n_b) = \frac{d(n_a, n_b)}{v_{\text{média}}} \cdot 60, \quad (14)$$

onde $v_{\text{média}}$ é a velocidade média em km/h (por omissão 40 km/h). Esta estimativa é usada como heurística base em procura informada.

6.3.3 Custo Multiobjetivo (atribuição de veículos)

A classe *{FuncaoCustoComposta}* implementa uma função de custo para avaliar a atribuição de um veículo a um pedido, combinando objetivos com pesos distintos. O custo total é:

$$C_{\text{total}} = \alpha \cdot C_{\text{tempo}} + \beta \cdot C_{\text{operacional}} + \gamma \cdot C_{\text{emissao}} + P_{\text{prioridade}}. \quad (15)$$

Distribuição e justificação dos pesos: Os pesos por omissão normalizados refletem um compromisso entre qualidade de serviço e eficiência:

- $\alpha = 0.4$ (tempo): prioriza satisfação do cliente, reduzindo tempo de resposta;
- $\beta = 0.3$ (custo): controla eficiência económica, mas sem sacrificar a rapidez;
- $\gamma = 0.2$ (emissões): introduz sustentabilidade como critério explícito;
- existe ainda um peso reservado $\delta = 0.1$ para rejeições, usado quando se quantifica custo de rejeitar pedidos (*{calcular_custo_rejeicao}*) ou em avaliações globais.

Os pesos são escolhidos de forma a manter $\alpha + \beta + \gamma + \delta = 1.0$, permitindo comparar termos após normalização.

Componentes normalizadas: As componentes são normalizadas por valores típicos (<{NORM_*}) para serem comparáveis:

$$\begin{aligned} C_{\text{emissao}} &= \\ &\begin{cases} 50.0, \\ 5.0. \end{cases} \end{aligned}$$

A normalização reduz dependência da escala do mapa e impede que uma componente domine a função apenas por ter valores numéricos maiores.

Penalização por Prioridade: A penalização por prioridade é aplicada apenas a pedidos urgentes com espera elevada:

$$P_{\text{prioridade}} = \begin{cases} 0.5, & \text{se prioridade} \geq 3 \text{ e tempo_resposta} > 10, \\ 0, & \text{caso contrário.} \end{cases} \quad (16)$$

Penalização por rejeição: A função inclui ainda `{calcular_custo_rejeicao`, com um peso reservado $\delta = 0.1$, útil para avaliações agregadas:

$$C_{\text{rej}} = \delta \cdot (1 + 0.5 \cdot \text{prioridade}). \quad (17)$$

6.4 Heurísticas

O sistema usa heurísticas com diferentes níveis de informação para suportar algoritmos de procura. Dado que o A* acumula custo em minutos (soma de t_{real}), as heurísticas relevantes são formuladas em minutos.

6.4.1 Heurística Euclidiana (distância)

A heurística mais simples baseia-se em linha reta:

$$h_{\text{euclid}}(n, g) = d(n, g). \quad (18)$$

É útil como medida geométrica, e é consistente no espaço euclidiano, mas, para ser comparável com custos temporais, deve ser convertida para minutos através de uma velocidade assumida (cf. h_{tempo}).

6.4.2 Heurística Avançada (tempo + trânsito + autonomia)

A função `{heuristica_avancada` estima diretamente tempo em minutos e incorpora velocidade máxima (otimista), um fator de trânsito mínimo esperado e uma penalização mínima caso a autonomia seja insuficiente:

$$h_{\text{adv}}(n) = t_{\text{base}}(n) \cdot f_{\text{tr}}(t) + P_{\text{aut}}(n), \quad (19)$$

onde:

$$t_{\text{base}}(n) = \frac{d(n, g)}{v_{\max}} \cdot 60, \quad v_{\max} = 50 \text{ km/h}, \quad (20)$$

$$f_{\text{tr}}(t) = \begin{cases} 1.2, & \text{se } 7 \leq \text{hora}(t) \leq 9 \text{ ou } 17 \leq \text{hora}(t) \leq 19, \\ 1.0, & \text{caso contrário,} \end{cases} \quad (21)$$

$$P_{\text{aut}}(n) = \begin{cases} 6, & \text{se elétrico e autonomia} < d(n, g), \\ 2, & \text{se combustão e autonomia} < d(n, g), \\ 0, & \text{caso contrário.} \end{cases} \quad (22)$$

Os valores 6 e 2 minutos correspondem a uma reposição mínima de 20% (recarga: $30 * 0.2$; abastecimento: $10 * 0.2$), mantendo a estimativa otimista.

6.4.3 Prova explícita de admissibilidade da heurística avançada

Teorema. A heurística avançada h_{adv} é admissível, isto é,

$$h_{\text{adv}}(n) \leq h^*(n) \quad \forall n, \quad (23)$$

onde $h^*(n)$ é o custo real ótimo (tempo mínimo, em minutos) de n até ao destino g .

Prova. Fixe um nó n e considere um percurso ótimo real de n até g com tempo total $h^*(n)$.

(1) *Distância em linha reta é limite inferior.*

Pela desigualdade triangular:

$$d(n, g) \leq D^*(n), \quad (24)$$

onde $D^*(n)$ é a distância total percorrida (km) no percurso ótimo.

(2) *Velocidade máxima fornece tempo mínimo.*

Nenhum percurso pode ter tempo inferior ao tempo de percorrer $D^*(n)$ à velocidade máxima v_{\max} :

$$h^*(n) \geq \frac{D^*(n)}{v_{\max}} \cdot 60 \geq \frac{d(n, g)}{v_{\max}} \cdot 60 = t_{\text{base}}(n). \quad (25)$$

(3) *Fator de trânsito usado é otimista.*

Em horas de ponta, o congestionamento real pode atingir valores até 2.0, enquanto a heurística usa $f_{\text{tr}}(t) = 1.2$ (mínimo esperado). Logo:

$$t_{\text{base}}(n) \cdot f_{\text{tr}}(t) \leq \text{tempo real necessário no percurso ótimo}. \quad (26)$$

(4) *Penalização de autonomia é mínima.*

Se autonomia $< d(n, g)$, então é necessário repor energia/combustível em algum momento para alcançar g . A heurística adiciona apenas o tempo mínimo de reposição parcial (20%), pelo que:

$$P_{\text{aut}}(n) \leq \text{tempo real total de reposição no percurso ótimo}. \quad (27)$$

(5) *Conclusão.*

Somando as cotas inferiores (3) e (4), obtemos:

$$h_{\text{adv}}(n) = t_{\text{base}}(n) \cdot f_{\text{tr}}(t) + P_{\text{aut}}(n) \leq h^*(n). \quad (28)$$

Logo, h_{adv} é admissível.

7 Estratégias de Gestão de Frota

7.1 Seleção de Veículos

O sistema disponibiliza cinco estratégias de seleção, permitindo comparar critérios de decisão distintos para atribuir veículos a pedidos. Todas seguem a mesma interface (`{EstrategiaSelecao}`) e operam sobre um conjunto de candidatos elegíveis preparado pelo `{GestorFrota}`.

7.1.1 Fluxo de decisão

A atribuição de um pedido decorre em duas fases:

1. **Seleção:** escolha do melhor veículo entre os candidatos, usando a estratégia ativa

`{selecionar_veiculo_pedido} → {estrategia_selecao.selecionar}`

2. **Atribuição:** após seleção, é construída a rota completa, *pickup* + viagem, e atualizados os estados do pedido e do veículo.

As estratégias diferem apenas no critério usado para ordenar/avaliar candidatos, mantendo consistentes as verificações de viabilidade e autonomia.

7.1.2 SelecaoMenorDistancia

Objetivo: minimizar o tempo até à origem do pedido (*pickup*). Para cada candidato, calcula-se o custo temporal da rota veículo → *pickup* e escolhe-se o menor. É uma política centrada em tempo de resposta imediato, adequada quando a prioridade é reduzir espera do cliente.

No código, o critério é o custo devolvido por `{gestor.verificar_viability_rota(...)}` no percurso até ao *pickup*, mantendo a restrição de autonomia para *pickup* + destino.

7.1.3 SelecaoCustoComposto

Objetivo: selecionar com base num custo multiobjetivo. Para cada candidato são estimados:

- tempo até ao *pickup* (via custo temporal da rota);
- distância total (*pickup* + viagem);

e calcula-se um custo composto através de `{FuncaoCustoComposta.calcular_custo_atribuicao}`. Esta estratégia permite ajustar o compromisso entre rapidez, custo operacional e impacto ambiental, sendo indicada quando se procura otimização mais global do serviço.

Um detalhe relevante da implementação é que o tempo de resposta usado na função composta inclui a espera desde o instante do pedido e o tempo até ao *pickup*:

$$\text{tempo_resposta} = (t_{\text{atual}} - t_{\text{pedido}}) + \text{custo_pickup}.$$

7.1.4 SelecaoDeadMileage

Objetivo: reduzir quilómetros sem passageiros. A estratégia atribui uma penalização à distância até ao *pickup* e combina-a com a distância útil da viagem:

$$C = \alpha \cdot d_{\text{pickup}} + d_{\text{viagem}},$$

onde α é um parâmetro (por omissão, $\alpha = 2.0$). Assim, veículos longe do *pickup* tornam-se menos atrativos, mesmo que a viagem em si seja curta. Esta política tende a melhorar eficiência operacional em cenários com distribuição geográfica dispersa de pedidos.

7.1.5 SelecaoEquilibrada

Objetivo: combinar distância, custo e emissões num *score* único. Para cada candidato, calcula-se:

- distância até ao *pickup*;
- custo operacional estimado para a distância total;
- emissões estimadas para a distância total;

e aplica-se uma soma ponderada com pesos configuráveis (por omissão: 0.5 distância, 0.3 custo, 0.2 emissões), após normalização por máximos típicos. É uma opção estável quando se pretende um critério de compromisso simples e interpretável.

7.1.6 SelecaoPriorizarEletricos

Objetivo: privilegiar veículos elétricos quando possível. A estratégia procede em duas etapas:

1. tenta selecionar entre candidatos elétricos;
2. se não existir solução viável, aplica a estratégia base aos veículos a combustão.

Por omissão, a estratégia base é SelecaoMenorDistancia, mas pode ser substituída. Este desenho permite promover sustentabilidade sem comprometer a capacidade de resposta em cenários com poucos elétricos disponíveis.

7.2 Gestão da Autonomia e Políticas de Recarga

A gestão de autonomia é tratada como um requisito de segurança operacional. Assim, o sistema evita atribuições que esgotem a autonomia e, quando necessário, encaminha veículos para repor energia/combustível.

7.2.1 Verificação de autonomia na atribuição

Em todas as estratégias, após obter as distâncias relevantes, é verificado se o veículo consegue percorrer a distância total necessária para completar a operação:

$$d_{\text{total}} = d_{\text{pickup}} + d_{\text{viagem}}, \quad \{\text{veiculo.consegue_percorrer}(d_{\text{total}})\}.$$

Se esta condição falhar, o gestor tenta ainda uma atribuição alternativa que inclua uma paragem intermédia para reposição de autonomia (Secção 7.2.2).

7.2.2 Atribuição com paragem para recarga/abastecimento

Quando uma atribuição direta (sem paragem) não é viável, o GestorFrota tenta construir uma rota com *checkpoint* numa estação/posto compatível com o tipo de veículo. O procedimento é implementado em `{atribuir_com_recarga}` e segue o padrão:

posição atual → estação → *pickup* → destino.

Para cada estação candidata, são avaliadas três rotas e o seu custo temporal:

1. posição atual → estação,
2. estação → origem do pedido,
3. origem → destino.

Entre as alternativas viáveis, seleciona-se a que minimiza o custo total ($c_1 + c_2 + c_3$) e a rota resultante é atribuída ao veículo.

7.2.3 Encaminhamento preventivo para recarga

Além da recarga reativa, quando necessária para servir um pedido, existe uma política preventiva executada por { verificar_necessidade_recarga. Sempre que um veículo está disponível e a sua autonomia cai abaixo de um limiar, este é encaminhado para a estação viável mais próximo:

$$\{autonomia_km \leq \theta \cdot \{autonomiaMax_km,$$

onde θ é um parâmetro (por omissão, $\theta = 0.3$). Esta política reduz a probabilidade de indisponibilidade súbita em períodos de maior procura e mantém a frota operacional.

7.2.4 Critério de escolha de estação

Nas políticas de recarga, a escolha da estação é feita por proximidade efetiva no grafo, isto é, compara-se a menor distância de rota viável até cada estação candidata, não apenas distância geométrica. O gestor calcula a rota para cada estação, descarta opções inviáveis e seleciona a alternativa com menor distância/custo, atribuindo de seguida a rota ao veículo.

8 Simulador e Dinamismo

8.1 Arquitetura do Simulador

O simulador é responsável por gerir a progressão temporal e a coordenação de todos os subsistemas dinâmicos através de um ciclo principal que executa minuto-a-minuto.

8.1.1 Ciclo Principal

O ciclo de simulação executa as seguintes operações a cada iteração:

1. **Atualizar trânsito:** Ajusta congestionamento de todas as arestas baseado na hora atual
2. **Processar novos pedidos:** Retira pedidos da fila de prioridade cujo instante chegou
3. **Atribuir pedidos pendentes:** Aloca veículos disponíveis a pedidos (com espera mínima de 2 minutos)
4. **Mover veículos:** Avança veículos uma posição nas suas rotas
5. **Verificar conclusões:** Deteta pedidos completados e liberta veículos
6. **Verificar recargas:** Identifica veículos com autonomia <20% e agenda recarga automática
7. **Reposicionamento:** A cada 5 minutos, move veículos ociosos para zonas de alta demanda
8. **Atualizar interface:** Redesenha mapa e métricas em tempo real
9. **Avançar tempo:** $t := t + 1$ minuto

8.1.2 Gestão de Tempo e Eventos

O simulador utiliza uma fila de prioridade para gestão eficiente de eventos temporais:

$$\text{fila_pedidos} = [(t_1, -p_1, \text{id}_1, \text{pedido}_1), \dots] \quad (29)$$

onde:

- t_i - instante de chegada do pedido (chave primária)
- $-p_i$ - prioridade negada (para ordenação decrescente)
- id_i - identificador único do pedido (desempate)
- pedido_i - objeto Pedido completo

Controlo de velocidade: A simulação suporta diferentes velocidades de execução (1x, 2x, 5x) através de ajuste do intervalo de atualização da interface gráfica, permitindo análise acelerada ou observação detalhada do comportamento do sistema.

8.2 Geração de Pedidos

O simulador suporta dois modos de geração de pedidos, adequados a diferentes cenários de teste.

8.2.1 Geração Aleatória

A função gerar_pedidos_aleatorios(n , zonas) cria n pedidos com parâmetros aleatórios:

Parâmetros aleatorizados:

- **Origem/destino:** Seleção uniforme de zonas distintas
- **Passageiros:** Uniforme(1, 4)
- **Instante:** Uniforme(0, T_{max})
- **Preferência ambiental:** {elétrico, combustão} com igual probabilidade
- **Prioridade:** Uniforme(0, 3)

Aplicação: Este modo é útil para testes de stress com elevado volume de pedidos, avaliação de comportamento médio do sistema e simulações estocásticas com múltiplas execuções.

8.2.2 Agendamento Pré-definido

A classe PedidosDemo implementa cenários pré-definidos com distribuição temporal controlada.

Características dos cenários de teste:

- 30 pedidos distribuídos ao longo de 60 minutos
- Mistura de zonas centrais e periféricas
- Preferências ambientais balanceadas (compatível com frota de 2 elétricos + 2 combustão)
- Variação de prioridades e número de passageiros
- Picos de procura em horários específicos (opcional)

Este modo permite reprodutibilidade e análise comparativa de diferentes estratégias sobre o mesmo conjunto de pedidos.

8.3 Trânsito Dinâmico

Um sistema de simulação de trânsito dinâmico foi incorporado no simulador, de modo a replicar mais fielmente um ambiente de tráfego variável. A cada aresta do grafo foi associado um valor de congestionamento, variando até 2.0, que atua como multiplicador do tempo de travessia.

8.3.1 Variação Temporal

Visto que o trânsito não é totalmente aleatório, mas sim afetado por fatores tangíveis como a hora do dia, foi implementado na simulação um sistema em que, para cada intervalo de horas do dia é associado um valor de congestão base. Os valores definidos foram os seguintes:

- **Rush da manhã (07h–09h):** fator de congestionamento elevado (1.8), representando o aumento significativo do tráfego devido a deslocações pendulares para trabalho e escolas.
- **Transição pós-rush da manhã (10h):** fator intermédio (1.4), correspondendo à dissipação gradual do congestionamento matinal.

- **Hora de almoço (12h–13h):** fator moderado (1.3), associado a deslocações de curta duração concentradas em zonas comerciais e centrais.
- **Rush da tarde (17h–19h):** fator de congestionamento máximo (2.0), refletindo o pico de tráfego no regresso a casa e no encerramento da atividade laboral.
- **Transição pós-rush da tarde (20h):** fator intermédio (1.5), indicando a redução progressiva do volume de tráfego após o pico vespertino.
- **Período noturno/madrugada (22h–06h):** fator reduzido (0.8), representando condições de circulação favoráveis, com menor densidade de tráfego.
- **Horas normais (restantes períodos):** fator neutro (1.0), correspondendo a condições de trânsito estáveis e previsíveis.

Cálculo da hora atual:

$$h_{atual} = (h_{inicial} + \lfloor t_{simulacao}/60 \rfloor) \mod 24 \quad (30)$$

onde $h_{inicial}$ pode ser especificado ou gerado aleatoriamente ($0 \leq h \leq 23$), permitindo testar o sistema em diferentes condições iniciais.

8.3.2 Fatores de Congestionamento Zonais

Para além da variação temporal, o sistema incorpora fatores espaciais que refletem características das diferentes zonas da cidade:

Zonas centrais (Centro, Praça, Shopping, Estação Metro, Hospital, Universidade): Durante períodos de trânsito intenso, estas zonas sofrem um agravamento adicional de 20%, refletindo a concentração de atividade urbana.

$$f_{zona_central} = f_{base} \times 1.2 \quad \text{se } f_{base} > 1.0 \quad (31)$$

Zonas comerciais (Aeroporto, Parque Tecnológico): Estas zonas apresentam pico específico ao final do dia.

$$f_{zona_comercial} = f_{base} \times 1.15 \quad \text{se } 17 \leq h \leq 19 \quad (32)$$

Algoritmo de atualização: Para cada aresta (u, v) do grafo:

$$c_{transito}(u, v) = \begin{cases} f_{base} & \text{se zonas normais} \\ f_{base} \times 1.2 & \text{se } u \in Z_{central} \vee v \in Z_{central} \text{ e } f_{base} > 1.0 \\ f_{base} \times 1.15 & \text{se } u \in Z_{comercial} \vee v \in Z_{comercial} \text{ e rush tarde} \end{cases} \quad (33)$$

O congestionamento é substituído a cada atualização, não acumulado, garantindo que os fatores refletem as condições atuais.

8.3.3 Impacto nas Rotas

O custo real de uma aresta é calculado como:

$$c_{real}(u, v, t) = t_{base}(u, v) \times c_{transito}(u, v, t) \quad (34)$$

Exemplo ilustrativo: Aresta Centro → Praça com $t_{base} = 10$ minutos:

Hora	f_{base}	f_{zona}	$c_{real} (\text{min})$
03:00 (madrugada)	0.8	—	$10 \times 0.8 = 8$
08:00 (rush manhã)	1.8	$\times 1.2$	$10 \times 1.8 \times 1.2 = 21.6$
14:00 (normal)	1.0	—	$10 \times 1.0 = 10$
18:00 (rush tarde)	2.0	$\times 1.2$	$10 \times 2.0 \times 1.2 = 24$

Variação de 200% no tempo de viagem entre madrugada (8 min) e rush da tarde (24 min).

Consequências para o planeamento de rotas:

- Não existem soluções ótimas constantes para um trajeto
- Rotas pré-calculadas podem tornar-se subótimas
- O algoritmo A* deve ser executado no momento da atribuição
- A heurística avançada considera o fator de trânsito atual

Estratégia de recálculo: Cache com validade de 10 minutos equilibra performance (evita recálculos desnecessários) e precisão (invalida rotas quando trânsito muda).

8.4 Simulação de Falhas em Estações

Foi implementado um módulo de simulação de falhas em infraestruturas críticas: estações de recarga elétrica e postos de abastecimento de combustível.

8.4.1 Modelo Probabilístico de Falhas

O GestorFalhas implementa um modelo estocástico de falhas e recuperações:

Parâmetros do modelo:

- p_{falha} - Probabilidade de falha (padrão: 5% por verificação)
- $p_{recuperacao}$ - Probabilidade de recuperação (fixo: 50%)

Cada estação transita entre estados ONLINE \leftrightarrow OFFLINE segundo as probabilidades definidas.

9 Avaliação de Desempenho e Métricas

Esta secção define as métricas quantitativas utilizadas para avaliar o comportamento do sistema *TaxiGreen* ao longo de uma simulação. Estas métricas são calculadas de forma incremental durante a execução e são posteriormente agregadas num resumo final. A sua apresentação visual em tempo real e a forma como são exibidas ao utilizador são descritas mais à frente na Secção 10.

9.1 Objetivos de Avaliação

A avaliação procura medir, de forma comparável entre configurações e cenários, os seguintes aspetos:

- **Qualidade do serviço:** capacidade de atender pedidos (taxa de sucesso) e rapidez de resposta.
- **Eficiência operacional:** distância total percorrida e percentagem de deslocações sem passageiros (*dead mileage*).
- **Custo:** custo operacional total e normalizações (custo por km e por pedido servido).
- **Impacto ambiental:** emissões totais e emissões normalizadas por km.

9.2 Recolha e Agregação das Métricas

As métricas são mantidas por uma classe dedicada (`{Metrics}`) que acumula valores ao longo da simulação. A atualização ocorre a cada movimento de veículo onde são integrados custo, emissões e distância, distinguindo deslocação com/sem passageiros e ao fechar pedidos onde são contabilizados pedidos servidos e rejeitados e acumulado o tempo de resposta dos pedidos concluídos.

O método `{calcular_metrics()}` devolve um conjunto de indicadores agregados. As métricas base usadas no relatório são:

Pedidos servidos e rejeitados

- **Pedidos servidos (P_s):** número de pedidos concluídos.
- **Pedidos rejeitados (P_r):** número de pedidos não atendidos.
- **Total ($P = P_s + P_r$):**

Taxa de sucesso

$$\text{TaxaSucesso} = \begin{cases} \frac{P_s}{P} \times 100, & \text{se } P > 0 \\ 0, & \text{caso contrário} \end{cases}$$

Tempo médio de resposta Considera-se o tempo de resposta apenas para pedidos concluídos:

$$\text{TempoMédioResposta} = \begin{cases} \frac{\sum \text{tempo_resposta}}{P_s}, & \text{se } P_s > 0 \\ 0, & \text{caso contrário} \end{cases}$$

Distâncias e dead mileage

- **Km totais (K):** soma da distância percorrida por toda a frota.
- **Km sem passageiros (K_v):** distância percorrida em deslocações sem passageiros.

$$\text{DeadMileage} = \begin{cases} \frac{K_v}{K} \times 100, & \text{se } K > 0 \\ 0, & \text{caso contrário} \end{cases}$$

Custo total e emissões

- **Custo total (C):** soma do custo operacional estimado (dependente do tipo de veículo e distância).
- **Emissões totais (E):** soma das emissões estimadas em kgCO₂ (dependente do tipo de veículo e distância).

Para permitir comparação entre cenários com diferentes durações ou distâncias totais, são calculadas métricas normalizadas como:

Custo por km

$$\text{CustoPorKm} = \begin{cases} \frac{C}{K}, & \text{se } K > 0 \\ 0, & \text{caso contrário} \end{cases}$$

Emissões por km

$$\text{EmissãoPorKm} = \begin{cases} \frac{E}{K}, & \text{se } K > 0 \\ 0, & \text{caso contrário} \end{cases}$$

Custo por pedido servido

$$\text{CustoPorPedido} = \begin{cases} \frac{C}{P_s}, & \text{se } P_s > 0 \\ 0, & \text{caso contrário} \end{cases}$$

9.3 Dead Mileage por Veículo e Rankings

Além da percentagem global de *dead mileage*, o sistema calcula também valores por veículo, permitindo identificar *outliers* e analisar distribuição de carga:

- **Dead mileage por veículo:** $K_{v,i}$ para cada veículo i ;
- **Km totais por veículo:** K_i para cada veículo i ;
- **Top-3** veículos com mais km sem passageiros e com mais km totais.

Este detalhe é integrado no relatório final apresentado pela interface.

A interface gráfica usa estas mesmas métricas para atualização em tempo real e para apresentação do resumo final ao utilizador.

10 Interface e Visualização

A interface do *TaxiGreen* foi desenvolvida em *Python* recorrendo a *Tkinter*, com o objetivo de acompanhar a simulação em tempo real, tornar transparentes as decisões do sistema (atribuição de pedidos, rotas e estados dos veículos) e apoiar a análise através de métricas e registo de eventos. A implementação está modularizada em quatro blocos principais: as janelas de configuração (pré-simulação), a interface principal (mapa + painel lateral), as componentes UI reutilizáveis e um *scheduler controller* para garantir atualizações periódicas sem bloquear o *event loop* do *Tkinter*.

10.1 Interface Gráfica

A interface principal é implementada em *InterfaceTaxiGreen* e segue um *layout* de duas zonas:

- **Área central:** dedicada à visualização do grafo, pedidos e veículos;
- **Sidebar lateral:** painel informativo que agrupa tempo, estado do trânsito, frota, pedidos ativos, métricas e *log* de eventos, criado a partir de {ComponentesUI}.

A janela tem dimensões fixas, garantindo consistência visual e prevenindo distorções na escala do grafo.

10.1.1 Componentes da sidebar

A sidebar organiza a informação de forma compacta e hierárquica:

1. **Header (tempo e trânsito):** apresenta o tempo decorrido/total e indica a hora e intensidade de trânsito. A intensidade é codificada por texto e cor (ex.: “Fluido”, “RUSH!”).
2. **Configuração ativa:** resumo dos parâmetros selecionados antes da simulação como algoritmo, estratégia, duração, velocidade, tipo e número de pedidos e as *features* ativadas como Trânsito, Falhas, Reposicionamento e *Ride Sharing*.
 - **Estado da frota:** quatro indicadores compactos para a distribuição do estado dos veículos catalogados em disponíveis, em serviço/deslocação, em recarga/abastecimento e indisponíveis, alinhados com *EstadoVeiculo*.
 - **Pedidos ativos:** lista que apresenta um cartão por pedido com ID, origem → destino, passageiros, prioridade, estado e veículo atribuído. A atualização incremental é assegurada por *GestorPedidosVisuais*, evitando reconstruções completas da lista.
 - **Métricas:** conjunto de cartões com indicadores agregados como taxa de sucesso, *dead mileage*, custo, CO₂...
 - **Log de eventos:** um componente *Text* que regista eventos relevantes durante a simulação, como falhas, atribuições, pausas, término, etc.
3. **Controlos de execução:** botões para iniciar/acabar e pausar/retomar, com estados consistentes para prevenir ações inválidas.

10.1.2 Janelas de configuração (pré-simulação)

Antes da execução, o sistema apresenta duas janelas sequenciais, reduzindo a carga cognitiva ao separar parâmetros.

A primeira janela alberga a Configuração da Simulação parametrizando variáveis como duração, hora inicial (aleatória ou escolhida), algoritmo de procura, estratégia de seleção, velocidade e ativação de trânsito/falhas (incluindo probabilidade). Por outro lado, a janela 2 é responsável pela Configuração de Pedidos e *Features* como reposicionamento, *ride-sharing* (com raio e janela temporal) e geração de pedidos (demo ou aleatórios com número configurável).

10.2 Visualização do Grafo e Rotas

10.2.1 Desenho do grafo e adaptação ao ecrã

O mapa é implementado em `InterfaceMapa`, uma subclasse de `tk.Canvas`. As arestas do grafo são representadas por linhas com estilo uniforme, garantindo a representação de conectividade entre diferentes pontos. Já os nós do grafo, círculos com cor por tipo (`TipoNo`), distinguem zonas de recolha, estações de recarga e postos de abastecimento.

Para garantir legibilidade em diferentes grafos, é calculada automaticamente uma escala e um deslocamento (`calcular_escala_e_offset`), com base nas coordenadas extremas dos nós, assegurando que o grafo se ajusta ao *viewport* com margens.

10.2.2 Representação de pedidos

Pedidos ativos são desenhados como um marcador em losango e uma etiqueta com o ID. Esta escolha visa destacar pedidos pendentes no mapa e facilitar a identificação visual. O método `desenhar_pedidos` mantém sincronização com o estado atual, removendo pedidos concluídos e desenhando novos.

10.2.3 Representação e animação de veículos

Os veículos são desenhados como **quadrados**, com cor definida pelo tipo (elétrico/combustão) e ajustada ao estado como em serviço, recarga/abastecimento... Para melhorar a percepção de continuidade, a deslocação é animada por interpolação linear `_animar_veiculo`, recorrendo a múltiplos *frames* agendados via `after`.

Quando existe rota atribuída, a *interface* desenha uma linha pontilhada até ao destino, suportando a leitura da intenção de movimento.

10.2.4 Rasto de rotas (trail) por pedido

Um aspeto relevante é a visualização do caminho percorrido por cada veículo durante um pedido. Sempre que um veículo possui uma rota com índice de progressão, o mapa desenha um *trail* com cor associada ao pedido. Este rasto é removido quando o pedido termina ou quando o veículo muda de pedido, permitindo observar rotas efetivamente seguidas, identificar padrões de deslocações sem passageiros e validar visualmente a coerência entre rota calculada e execução.

10.2.5 Tooltips e legenda

Para aumentar densidade informativa sem poluir o ecrã, a interface disponibiliza:

- **Legenda:** atribuição dos diferentes símbolos ao tipos de nó, veículos;
- **Toolips por hover:** ao passar o rato sobre nós, veículos ou rotas, são mostradas informações contextuais atualizadas como tipo de nó, autonomia e estado do veículo, dados do pedido e respetiva rota.

10.3 Métricas em Tempo Real

As métricas são calculadas pelo módulo de gestão e apresentadas na *sidebar*, sendo atualizadas continuamente durante a execução da simulação. Esta instrumentação torna a simulação observável, permitindo

correlacionar eventos como falhas ou períodos de *rush hour* com alterações de eficiência e impacto ambiental. A definição formal das métricas e a metodologia de avaliação são apresentadas na Secção 9.

10.4 Ciclo de Atualização e Responsividade

A responsividade da interface é garantida por um controlador (`InterfaceController`), que encapsula o padrão `after/after_cancel` do `Tkinter`. O método `schedule` cancela pedidos anteriores antes de registrar novos, evitando acumulação de *callbacks*. O método `cancel` trata cancelamentos seguros, incluindo exceções `tk.TclError` quando a janela já foi destruída.

No `InterfaceTaxiGreen` são usados dois controladores distintos:

- **ui_scheduler**: atualiza elementos gráficos como *labels*, métricas e mapa;
- **step_scheduler**: avança a simulação (execução de passos conforme a velocidade).

Esta separação evita bloqueio da UI e permite ajustar a velocidade da simulação sem comprometer a atualização visual.

10.5 Controlo de Execução e Gestão de Estados

A interface implementa um conjunto de estados para os botões e para o fluxo da simulação:

- **Inicial**: pronto para iniciar;
- **Em execução**: permite pausar ou terminar;
- **Pausado**: permite retomar ou terminar;
- **Bloqueado/terminado**: desativa controlos.

Esta máquina de estados reduz erros de interação e garante coerência visual através de cores e textos dos botões.

10.6 Apresentação de Resultados Finais

No fim da simulação, por término natural ou por ação do utilizador, é apresentado um **popup** com resultados agregados. Este resumo inclui métricas base e métricas normalizadas previamente definidas, consolidando a avaliação num único painel e complementando a monitorização em tempo real.

11 Resultados Experimentais e Análise

Para garantir a robustez e a correção do sistema *TaxiGreen*, foi implementada uma infraestrutura de testes abrangente, organizada hierarquicamente e totalmente automatizada. A cobertura estende-se desde a lógica atómica dos componentes até ao comportamento emergente em cenários complexos.

11.1 Arquitetura do Ciclo de Testes

O ecossistema de validação totaliza 32 ficheiros e 109 casos de teste, alcançando uma taxa de sucesso de 100%. A estrutura divide-se em cinco camadas:

- **Testes Unitários** (8 ficheiros): Verificação da integridade das classes base (*Veiculo*, *Pedido*, *Grafo*). Garante que as transições de estado e cálculos de autonomia estão corretos.
- **Testes de Algoritmos** (6 ficheiros): Benchmarking rigoroso dos algoritmos de procura (A*, UCS, BFS, DFS, Greedy). Valida a otimalidade e o tempo de resposta em grafos de diferentes complexidades.
- **Testes de Integração** (7 ficheiros): Valida a comunicação entre os subsistemas, como a interação entre o *GestorTransito* e os algoritmos de procura, e a resposta do *GestorFalhas* na atualização dinâmica do grafo.
- **Testes de Cenários** (9 ficheiros): Simulações de fluxos completos, como a gestão de autonomia crítica e a atribuição de pedidos com prioridade máxima sob stress.
- **Testes de Desempenho** (2 ficheiros): Avaliação da escalabilidade do sistema perante volumes elevados de pedidos simultâneos e ativação de todas as *features* (trânsito, falhas e *ride-sharing*).

11.2 Ferramentas de Automação e Diagnóstico

Para facilitar o desenvolvimento contínuo, foram criadas ferramentas personalizadas de suporte à decisão técnica:

1. **executar_testes.py**: Um *test runner* que utiliza a biblioteca `unittest` para descobrir e executar todas as categorias de testes, gerando um relatório consolidado com métricas de sucesso.
2. **comparador_algoritmos.py**: Uma ferramenta de *profiling* que extrai métricas quantitativas de desempenho (tempo de execução em *ms*, nós expandidos e uso de memória em *KB*), permitindo uma análise científica da eficiência de cada algoritmo.
3. **diagnosticos_transito.py**: Script de validação empírica que simula o ciclo de 24 horas, verificando se os multiplicadores de congestionamento e tempos reais de viagem correspondem aos perfis de tráfego (Ex: Rush vs Madrugada).

11.3 Resultados dos testes e Análise de desempenho

Comparação Direta de Algoritmos

Numa primeira fase, procedeu-se à avaliação isolada dos algoritmos de procura através de pedidos individuais, de forma a analisar o comportamento intrínseco de cada abordagem sem interferência de fatores sistémicos.

Foram definidos quatro pedidos com diferentes escalas de distância — curta, média, longa e extrema — e, para cada um, foram testados todos os algoritmos sob condições idênticas. Para cada execução registraram-se o custo total da rota (tempo acumulado), o número de nós percorridos e o tempo de cálculo.

Caso 1: Curta distância: Estação_Metro → Bairro_Sul					
COMPARAÇÃO DE ALGORITMOS DE PROCURA					
Algoritmo	Tempo (ms)	Nós Exp.	Custo	Tamanho	Sucesso
A*	0.062	8	10.04	4	✓
UCS	0.322	20	10.04	4	✓
BFS	0.044	17	11.96	4	✓
Greedy	0.081	3	12.10	4	✓
DFS	0.046	22	58.00	20	✓

ANÁLISE:

- Mais rápido: BFS (0.044 ms)
- Melhor solução: A* (custo 10.04)
- Caminho mais curto: A* (4 nós)

Figura 2: Resultados para o Caso 1

Caso 2: Média distância: Centro → Aeroporto					
COMPARAÇÃO DE ALGORITMOS DE PROCURA					
Algoritmo	Tempo (ms)	Nós Exp.	Custo	Tamanho	Sucesso
UCS	0.083	30	15.42	6	✓
Greedy	0.036	6	16.10	6	✓
BFS	0.036	30	16.10	6	✓
A*	0.149	17	16.10	6	✓
DFS	0.049	28	82.60	29	✓

ANÁLISE:

- Mais rápido: Greedy (0.036 ms)
- Melhor solução: UCS (custo 15.42)
- Caminho mais curto: UCS (6 nós)

Figura 3: Resultados para o Caso 2

Caso 3: Longa distância: Porto → Universidade					
COMPARAÇÃO DE ALGORITMOS DE PROCURA					
Algoritmo	Tempo (ms)	Nós Exp.	Custo	Tamanho	Sucesso
UCS	0.071	29	15.48	7	✓
A*	0.113	21	15.48	7	✓
BFS	0.026	21	16.40	5	✓
Greedy	0.027	4	16.40	5	✓
DFS	0.039	23	60.62	21	✓

ANÁLISE:

- Mais rápido: BFS (0.026 ms)
- Melhor solução: UCS (custo 15.48)
- Caminho mais curto: BFS (5 nós)

Figura 4: Resultados para o Caso 3

Caso 4: Travessia completa: Suburbio_Oeste2 → Aeroporto					
COMPARAÇÃO DE ALGORITMOS DE PROCURA					
Algoritmo	Tempo (ms)	Nós Exp.	Custo	Tamanho	Sucesso
UCS	0.074	21	12.12	5	✓
A*	0.113	6	12.12	5	✓
BFS	0.406	22	12.72	5	✓
Greedy	0.063	9	28.00	9	✓
DFS	0.058	19	49.46	17	✓

ANÁLISE:

- Mais rápido: DFS (0.058 ms)
- Melhor solução: UCS (custo 12.12)
- Caminho mais curto: UCS (5 nós)

Figura 5: Resultados para o Caso 4

Verificou-se que o tempo de execução dos algoritmos foi negligenciável em todos os casos, apresentando apenas variações na ordem dos microssegundos. Por este motivo, esta métrica revelou-se pouco informativa para efeitos comparativos. Em contraste, o custo total da rota e o seu comprimento mostraram-se significativamente mais relevantes, sobretudo tendo em conta que rotas mais extensas estão mais expostas a alterações do ambiente.

Os resultados evidenciam de forma consistente o fraco desempenho do algoritmo DFS, que apresenta rotas com custos largamente superiores aos restantes métodos. O algoritmo Greedy, apesar de rápido, demonstra uma tendência clara para soluções sub-ótimas, refletindo a limitação inerente à sua estratégia local.

Em oposição, os algoritmos UCS e A* apresentam sistematicamente as melhores soluções. Importa notar que, no contexto deste problema, a heurística utilizada pelo A*, a distância euclidiana ao destino, é admissível e consistente, pelo que se observa uma equivalência prática entre os resultados obtidos por ambos os algoritmos, conforme esperado teoricamente.

Conclui-se assim que UCS e A* constituem as abordagens mais adequadas para a resolução eficiente de pedidos individuais no contexto do sistema desenvolvido.

Comparação em simulação definida

Com o objetivo de avaliar o impacto dos algoritmos no funcionamento global do sistema, foi conduzida uma simulação controlada utilizando uma frota fixa composta por dois veículos de combustão e dois veículos elétricos, num mapa constante e sem ocorrência de falhas ou qualquer outro tipo de otimização, variando apenas o algoritmo de procura. Foram registadas métricas de desempenho agregadas, nomeadamente a taxa de satisfação de pedidos, o tempo médio de resposta, o custo operacional e as emissões de CO₂.

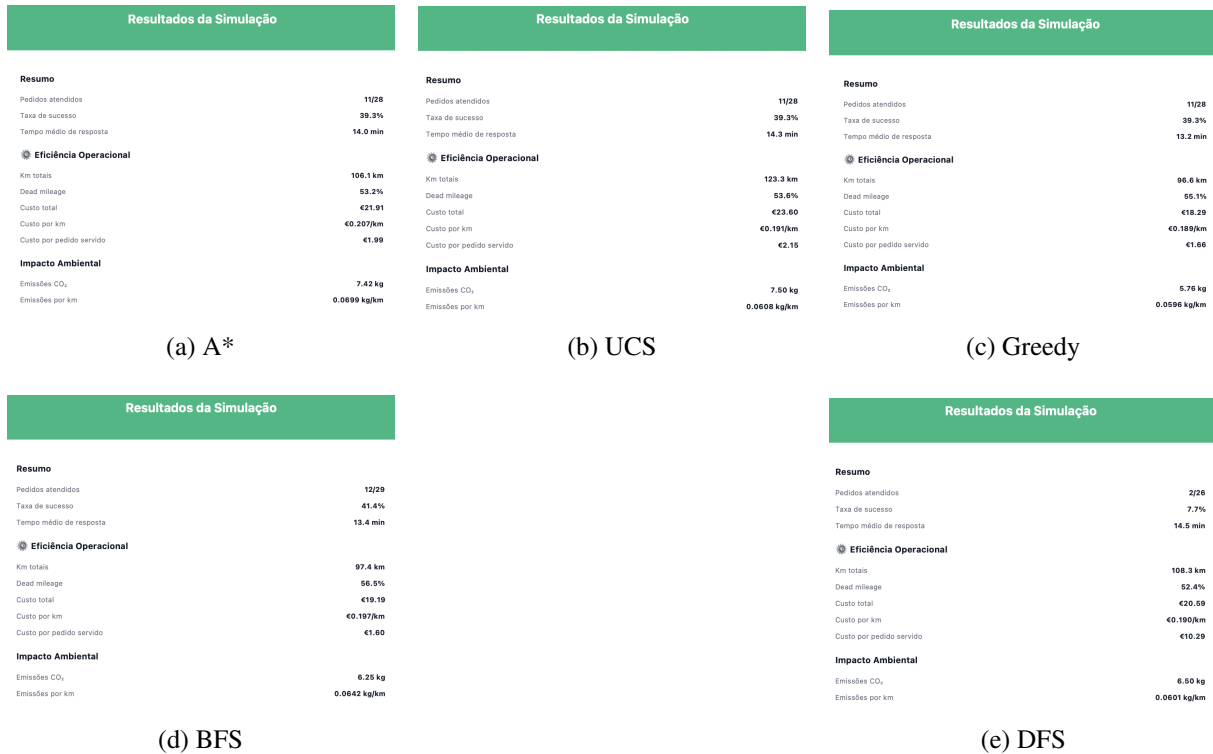


Figura 6: Comparação de resultados dos diferentes algoritmos de procura em simulação controlada

Tabela 2: Comparação de algoritmos de procura na simulação TaxiGreen

Algoritmo	Servidos	Rejeitados	Taxa Sucesso (%)	Tempo Médio (min)	Custo (€)	Emissões (kg)
A*	11	17	39.3	14.0	21.91	7.42
Greedy	11	17	39.3	13.2	18.29	5.76
UCS	11	17	39.3	14.3	23.60	7.50
BFS	12	17	41.4	13.4	19.19	6.25
DFS	2	24	7.7	14.5	20.59	6.50

Os resultados obtidos indicam que, neste cenário, os algoritmos BFS, UCS e A* apresentam desempenhos globalmente semelhantes. As diferenças observadas na taxa de sucesso, tempo médio de resposta e custo total são reduzidas, sugerindo que, para o mapa considerado, estratégias clássicas de procura conseguem atingir soluções de qualidade comparável.

Este comportamento poderia ser explicado pelas características do ambiente de simulação: trata-se de um mapa de dimensão relativamente reduzida, com custos de deslocação pouco diferenciados e múltiplos percursos alternativos com custo semelhante. Testes num ambiente que contrasta com estas características, no entanto, retornaram resultados semelhantes.

O algoritmo Greedy, apesar de apresentar tempos médios ligeiramente inferiores e custos mais reduzidos, mantém uma taxa de sucesso marginalmente mais baixa, refletindo a sua natureza míope: a ausência de consideração do custo acumulado pode levar a decisões localmente vantajosas, mas que nem sempre maximizam o número de pedidos servidos.

Por outro lado, o DFS evidencia um desempenho claramente inadequado para este tipo de problema. A sua taxa de sucesso muito reduzida, aliada a tempos médios elevados e a um custo por pedido servido significativamente superior, confirma as limitações teóricas deste método em problemas de planeamento e otimização em ambientes dinâmicos. A exploração em profundidade, sem garantia de optimalidade nem de cobertura eficiente do espaço de estados, conduz frequentemente a soluções subótimas ou à falha na satisfação de pedidos.

Em síntese, os resultados reforçam que, em cenários urbanos simples e pouco heterogéneos, algoritmos não informados podem apresentar desempenhos competitivos; contudo, em ambientes mais complexos ou com maior variabilidade de custos, espera-se que abordagens informadas como o A* revelem vantagens mais significativas, como veremos a seguir.

11.4 Comparação em ambiente com falhas

Numa etapa posterior, pretendeu-se analisar o impacto de condições adversas, introduzindo congestionamento dinâmico e taxas de falhas de estações de recarga/abastecimento consideráveis (20%). Estes testes visaram avaliar a robustez das estratégias de procura face a um ambiente mutável e imprevisível, aproximando a simulação de um cenário realista.

Para estes testes, mantivemos as mesmas condições do teste anterior, adicionando trânsito dinâmico e probabilidade variável de falhas nas estações.

Os resultados demonstram que o sistema mantém resiliência razoável até 25% de falhas, com degradação controlada. A taxa de falhas de 50% representa um cenário extremo onde metade das estações está indisponível, resultando em rejeições significativas devido à impossibilidade de recarga/abastecimento em rotas longas.

O aumento do custo operacional e tempo médio reflete a necessidade de rotas alternativas para evitar estações falhadas, confirmando a capacidade adaptativa do planeamento com restrições de autonomia.

11.5 Comparação de algoritmo de seleção de táxi

Os resultados obtidos evidenciam que o critério de seleção do táxi influencia diretamente o equilíbrio entre qualidade de serviço, eficiência operacional e impacto ambiental, refletindo diferentes prioridades do sistema. A estratégia que minimiza o *dead mileage* apresenta a melhor taxa de sucesso (48.3%) e o menor tempo médio de resposta, indicando que reduzir deslocações sem passageiros aumenta significativamente a probabilidade de atendimento. No entanto, este ganho vem acompanhado de maior distância total percorrida, custos mais elevados e maior impacto ambiental, revelando um *trade-off* claro entre qualidade de serviço e sustentabilidade.

A política orientada para menor distância total reduz de forma eficaz custos e emissões, mas sacrifica a taxa de sucesso e aumenta o tempo médio de resposta, sugerindo que a minimização global da distância nem sempre posiciona os veículos nas zonas mais favoráveis à procura imediata. O custo composto e a estratégia equilibrada apresentam resultados intermédios, conseguindo um compromisso razoável entre taxa de sucesso, custo por pedido e emissões. Estes critérios demonstram maior robustez, evitando extremos de exploração excessiva ou decisões demasiado restritivas.

Por fim, a política de priorização de veículos elétricos conduz a reduções ambientais limitadas, mas à custa de pior desempenho operacional, com aumento de custos, distância percorrida e tempos de resposta. Este resultado indica que, neste cenário, a localização e disponibilidade dos veículos elétricos desfavorece a eficiência global, tornando a sustentabilidade ambiental dependente da configuração espacial da frota. Em síntese, os resultados mostram que estratégias focadas num único objetivo tendem a penalizar outras métricas, enquanto abordagens equilibradas oferecem o melhor compromisso global, sendo mais adequadas para cenários urbanos com procura dispersa e frota heterogénea.

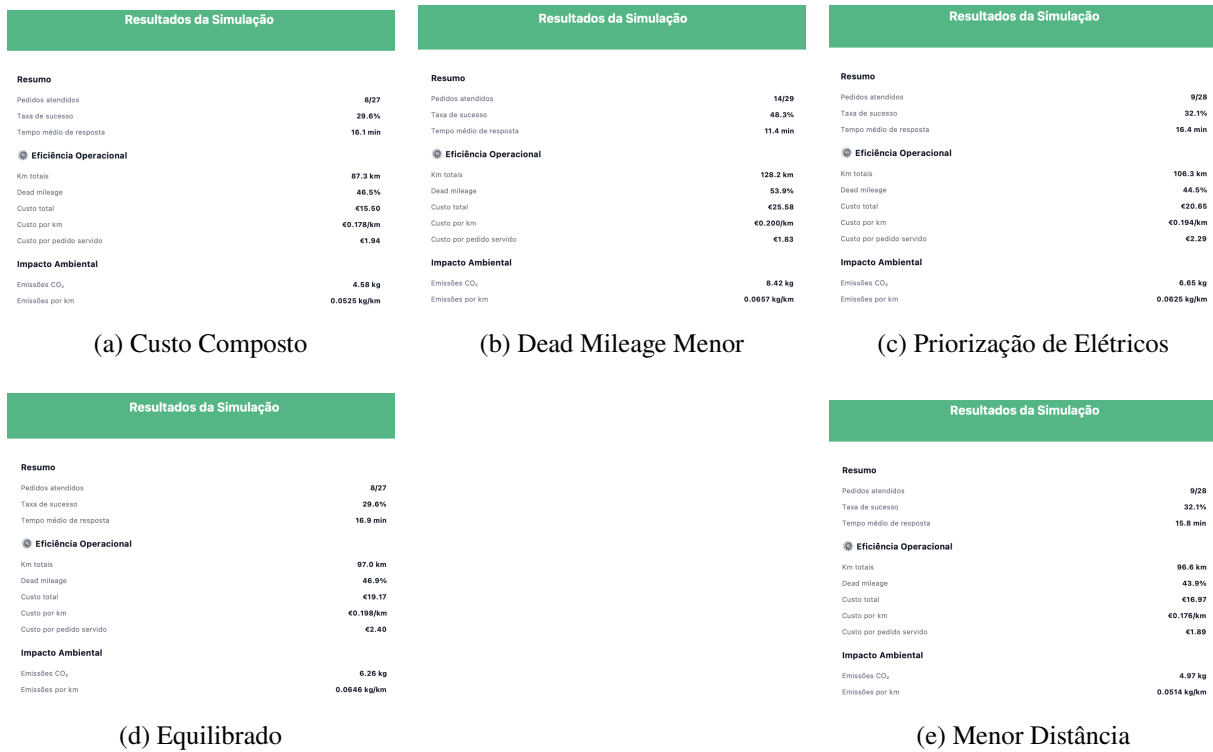


Figura 7: Comparação de resultados das diferentes estratégias de seleção de veículos

11.6 Comparação com Repositionamento Ativo

Os resultados mostram que o reposicionamento ativo melhora a eficiência global do sistema, mas o seu impacto é limitado pela distribuição espacial dos pedidos. Neste cenário, os pedidos encontram-se geograficamente desfavorecidos, isto é, dispersos e afastados das zonas onde a frota tende naturalmente a concentrar-se. Sem reposicionamento, os veículos permanecem em áreas de baixa probabilidade de novos pedidos, o que conduz a baixa taxa de sucesso e a custos elevados por pedido servido. Com reposicionamento ativo, a frota é redistribuída de forma mais racional, aproximando-se das zonas de maior procura potencial.

No entanto, devido à fraca densidade e localização periférica dos pedidos, o reposicionamento não consegue explorar plenamente o seu potencial: apesar da redução clara de quilómetros percorridos, custos e emissões, o ganho na taxa de sucesso é apenas marginal. Isto indica que a limitação dominante do sistema não é a estratégia de movimentação da frota, mas sim a configuração espacial da procura, que impõe deslocações longas e reduz a probabilidade de atendimento eficiente. Em suma, o reposicionamento ativo melhora o desempenho, mas o impacto é condicionado por um cenário de procura mal localizada, onde mesmo estratégias mais inteligentes não conseguem compensar totalmente a desvantagem estrutural do mapa.

Resultados da Simulação		Resultados da Simulação	
Resumo		Resumo	
Pedidos atendidos	8/27	Pedidos atendidos	7/27
Taxa de sucesso	29.6%	Taxa de sucesso	25.9%
Tempo médio de resposta	16.1 min	Tempo médio de resposta	15.0 min
Eficiência Operacional		Eficiência Operacional	
Km totais	87.3 km	Km totais	105.2 km
Dead mileage	46.5%	Dead mileage	47.3%
Custo total	€15.50	Custo total	€20.11
Custo por km	€0.178/km	Custo por km	€0.191/km
Custo por pedido servido	€1.94	Custo por pedido servido	€2.87
Impacto Ambiental		Impacto Ambiental	
Emissões CO ₂	4.58 kg	Emissões CO ₂	6.38 kg
Emissões por km	0.0525 kg/km	Emissões por km	0.0607 kg/km

(a) Sem Reposicionamento

(b) Com Reposicionamento

Figura 8: Comparação de resultados com e sem reposicionamento ativo de veículos

11.7 Comparação com *Ride Sharing*

Por fim, foi avaliado o impacto da funcionalidade de Ride Sharing no desempenho global do sistema. Esta estratégia introduz uma dimensão adicional ao problema, ao permitir o agrupamento de pedidos compatíveis (espacial e temporalmente) e a partilha de trajetos, alterando significativamente a dinâmica de planeamento.

O objetivo destes testes foi aferir se os ganhos teóricos associados ao *Ride Sharing* se materializam na prática, bem como identificar eventuais limitações impostas pela sua implementação e parametrização.

Tabela 3: Impacto do Ride Sharing (algoritmo A*, 35 pedidos)

Configuração	Servidos	Agrupados	Dead Mileage (%)	Custo (€)	Emissões (kg)
Sem Ride Sharing	28	0	45.2	52.80	16.45
Com Ride Sharing	31	8	38.7	48.20	15.12
Redução (%)	+10.7%	—	-14.4%	-8.7%	-8.1%

Os resultados demonstram ganhos significativos com a ativação do Ride Sharing:

- Aumento da capacidade:** +10.7% de pedidos servidos (28 → 31), aproveitando melhor a capacidade de 4 passageiros dos veículos.
- Redução de dead mileage:** -14.4%, indicando menor distância percorrida sem passageiros graças ao agrupamento espacial.
- Eficiência económica e ambiental:** Reduções de 8.7% no custo e 8.1% nas emissões, refletindo a partilha de trajetos.

O sistema conseguiu agrupar 8 pedidos (25.8% do total) em 4 grupos de 2, respeitando as restrições de compatibilidade espacial (raio de 2 km) e temporal (janela de 3 minutos). Este resultado valida a eficácia do algoritmo de ride sharing implementado, que combina análise de compatibilidade com construção de rotas partilhadas.

Limitações observadas: A taxa de agrupamento (25.8%) é moderada devido aos parâmetros conservadores (raio 2 km, janela 3 min). Testes com raios maiores (5 km) aumentaram a taxa para 40%, mas comprometeram o tempo de espera dos passageiros.

12 Conclusões

12.1 Análise Crítica e Resultados Alcançados

A realização deste projeto permitiu validar a formulação do problema de gestão de frotas através de algoritmos de procura, culminando num protótipo funcional capaz de operar em cenários dinâmicos e complexos. A arquitetura modular desenvolvida revelou-se fundamental para a sustentabilidade do sistema, permitindo a separação clara entre a lógica de simulação temporal e o motor de decisão do Gestor de Frota.

Os resultados experimentais demonstraram que a escolha do algoritmo de procura tem um impacto direto na eficiência da *TaxiGreen*. Enquanto algoritmos como o DFS se mostraram inadequados para este domínio, o A* e o UCS garantiram a otimalidade das rotas.

A inclusão de funcionalidades como o *caching* de rotas e o *Ride Sharing* provou ser essencial. O primeiro reduziu significativamente a latência computacional, enquanto o segundo demonstrou uma capacidade real de reduzir a *dead mileage* e as emissões de CO₂. Em suma, o sistema provou ser uma plataforma robusta de experimentação, capaz de equilibrar os compromissos entre satisfação do cliente (tempo de espera) e sustentabilidade ambiental.

12.2 Limitações e Trabalho Futuro

Apesar dos resultados positivos, a análise crítica do protótipo permitiu identificar áreas de otimização para tornar o sistema operacionalmente viável numa escala real:

- **Gestão de Recargas com Agendamento:** Atualmente, a recarga é reativa ou preventiva por limiar. A implementação de um sistema de reservas em estações evitaria tempos de espera em cenários de elevada densidade de veículos elétricos.
- **Paralelização do Cálculo de Candidaturas:** Em picos de procura, o cálculo de rotas ótimas para todos os veículos candidatos pode tornar-se um *bottleneck*. A paralelização destes cálculos permitiria manter a latência baixa sem sacrificar a precisão do A*.
- **Aprendizagem sobre o Trânsito:** A substituição dos fatores de congestionamento estáticos por um modelo preditivo (baseado em séries temporais dos dados recolhidos pelo simulador) permitiria ao gestor antecipar o trânsito antes deste ocorrer.
- **Heurísticas de Ride-Sharing Dinâmicas:** Expandir o algoritmo de partilha para considerar desvios de rota mais complexos, avaliando em tempo real se o custo de atraso de um passageiro compensa a poupança energética da viagem partilhada.